

ИЗМЕРЕНИЕ "РАДИАЦИОННОГО ХВОСТА" – СПЕКТРА ЭЛЕКТРОНОВ

В $e p \rightarrow e' p \gamma$ -РЕАКЦИИ

*Б.Б. Войцеховский, Д.М. Николенко, С.Г. Попов,
Д.К. Топорков*

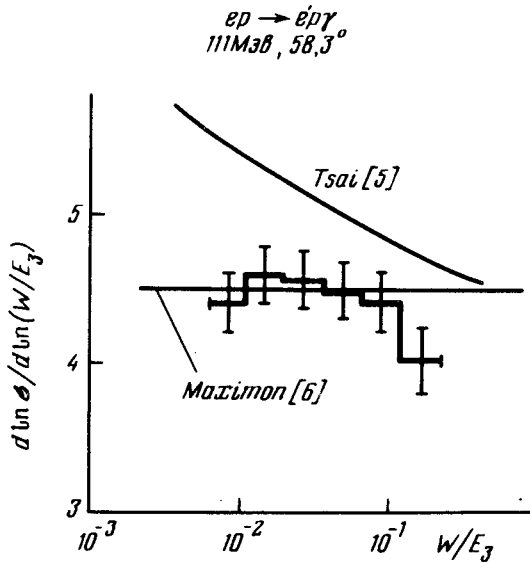
Спектр рассеянных электронов в реакции $e p \rightarrow e' p \gamma$, измеренный при начальной энергии 111 МэВ и угле рассеяния $58,3^\circ$, сравнивается с несколькими теоретическими расчетами. Впервые обнаружено хорошее согласие эксперимента в широком диапазоне спектра с расчетами [6], основанными на процедуре "экспоненцирования".

В последние годы существенно возросла точность в экспериментах по рассеянию электронов на ядрах. Например, формфакторы упругого рассеяния электронов измеряют с точностью лучше процента [1, 2], энергетическое разрешение достигает $4 \cdot 10^{-4}$ [3].

Во всех случаях взаимодействия электронов с заряженными частицами необходимо учитывать процессы с излучением реальных и виртуальных γ -квантов. В работах [4 – 7] использованы различные подходы к учету эффектов высших порядков в рассеянии электронов, расщепления мюонного вакуума, отдачи и излучения ядра. Анализ эксперимента [8] по теориям [5] и [6] приводит к результатам для формфактора протона отличающимся на $2 \div 2,5\%$. Такая погрешность теорий стимулирует проведение экспериментов для их проверки.

Сравнение формы спектра электронов в широкой области потерянных энергий с расчетной удобнее проводить при малых переданных импульсах, когда можно пренебречь изменением формфактора протона в изучаемой области спектра.

В ряде экспериментов [1, 8] по измерению формфактора протона изучалась форма спектра с погрешностями меньшими различия между расчетами [5] и [6], однако, эти эксперименты выполнены при больших переданных импульсах, когда приходится пользоваться пиковым приближением [5], а область спектра ограничена $2 \div 3\%$ вблизи пика упруго рассеянных электронов.



Настоящий эксперимент проведен на накопителе ВЭП-2 при энергии пучка 111МэВ и угле рассеянного электрона $58,3^\circ$. Аппаратура, регистрирующая рассеянный электрон, мишень и особенности постановки экспериментов со сверхтонкой мишенью в накопителе описаны в работах [9, 2]. Здесь мы отметим два важных момента, касающихся аппаратуры. Во-первых, энергетический аксептанс спектрометра позволил измерить широкий спектр рассеянных электронов и определить тем самым

Спектр и поправки $E_1 = 111$ МэВ, $\theta = 53^\circ, 3^\circ$

1	$\frac{W}{E_3}$	0,0060 -0,0110	0,0060 - -0,0200	0,0110 - -0,0366	0,0200 - -0,0668	0,0366 - -0,1220	0,0668 - -0,2228	0,1220 - -0,2228
2	N исходные	23892 ± 155	899 ± 30	886 ± 30	873 ± 30	861 ± 29	863 ± 29	804 ± 28
3	N поправок	фон	-42 ± 15	-22 ± 7	-27 ± 9	-37 ± 12	-30 ± 15	-30 ± 15
		разре- щение	+25 ± 5	-25 ± 5				
		фольги	770 ± 38	-188 ± 9	-145 ± 7	-109 ± 5	-94 ± 5	-89 ± 5
4	N результатирующие	24645 ± 162	664 ± 32	714 ± 32	727 ± 33	737 ± 33	744 ± 35	697 ± 40

относительные сечения в различных его частях не прибегая к мониторированию. Второе, шесть координат пролета электрона в искровых камерах и, вычисляемые по ним две координаты вылета электрона из мишени и отклонение от компланарности его траектории дают широкие возможности для отделения фоновых событий, контроля телесных углов, других проверок.

Средний ток пучка электронов во время эксперимента был $0,5 \text{ \AA}$, размер пучка 6 мм. Мишенью служила газовая струя молекулярного водорода 4 мм и с плотностью $2 \cdot 10^{14} \text{ мол/см}^3$. Разрешение по энергии электронов составляет $\Delta E_{1/2} \sim 200 \text{ КэВ}$.

В таблице приведены результаты обработки спектра. Первая графа дает границы интервалов суммирования событий, отсчитанные от упругого пика волях энергии упруго рассеянных электронов. Первый интервал содержит упругий пик. Из исходного спектра вычитались числа фоновых событий, определенные из распределений по некомпланарности траектории и координате вылета из мишени [2], вносились поправки на энергетическое разрешение. Затем учитывалось искажение спектра из-за ионизационных и радиационных потерь электронов в фольгах спектрометра (90 мг, 0,004 рад длины).

В таблице приведены величины этих поправок, а также результирующий спектр электронов (графа 4). Ошибки, указанные в таблице, кроме статистических, включают в себя неопределенность в уровне фона, толщине фольг, погрешности в расчетах "хвоста", возникающего при прохождении через фольги и неопределенность в форме упругого пика.

На рисунке приведено сравнение экспериментальных данных с двумя различными теоретическими подходами — с учетом "экспоненцирования" [6] и с учетом диаграмм рассеяния электрона первого и второго порядка и излучения протона [5]. Очевидно, что первый расчет очень хорошо совпадает с полученными экспериментальными данными. Правильный учет радиационных поправок в рассеянии электрона на протоне заметно изменит принятое значение формфактора протона при различных переданных импульсах и значение его среднеквадратичного радиуса. Результаты эксперимента для углов рассеяния 49, 90 и 99°, и также описание методики устранения фона проверки телесных углов будут опубликованы в дальнейшем. Авторы благодарны Э.А.Кураеву за полезные обсуждения.

Институт
ядерной физики
Сибирское отделение
Академии наук СССР

Поступила в редакцию
14 ноября 1978 г.

Литература

- [1] F.Borkowski et. al. Z. Physik, A 275, 29, 1975; W.Schütz, Z. Physik, A 273, 69, 1975 ;Ю.К.Акимов и др. ЖЭТФ, 35, 651, 1972.
- [2] Б.Б.Войцеховский, В.Г.Зелевинский, С.Г.Попов, Д.М.Николенко. Изв. АН СССР (сер. физ.), 42, 1978 (в печати).

- [3] R.Frey et al. Phys. Lett., 58 B, 155, 1975
 - [4] J.Schiwinger. Phys. Rev., 75, 898, 1949.
 - [5] L.W.Mo, Y.S.Tsai. Rev. Mod. Phys., 41, 205, 1969.
 - [6] L.C.Maximon. Rev. Mod. Phys., 41, 193, 1969.
 - [7] N.Meister, D.R.Yennie. Phys. Rev., 130, 1210, 1963.
 - [8] Berger et. al. , Phys. Lett., V 35B, N 1, 87.
 - [9] Д.М.Николенко, С.Г.Попов. ЖТФ, XLI Y, 451, 1974.; П.И.Батурина,
Б.А.Лазаренко, Д.М.Николенко, С.Г.Попов, Ю.Г.Украинцев. ПТЭ,
№4, 38, 1978; П.И.Батурина, С.Г.Попов, Д.К.Топорков. ЖТФ, XLY,
2463, 1975.
-